#### テキストシリーズ土木工学12「標準 構造力学」正誤表 (2009/4/1)

- ◎ p.15 の 9 行 (1.9 節)
- … このとき,B点の相互力  $\pm R_B$ は, $\underline{互い打ち消し}$ 合っており…  $\overline{\qquad}$  互いに打ち消し…
- ◎ p.21の6行 (1.11節)
- … 分布力の合力は、微小面積 / 長さ当たりに 微小面積 / 微小長さ当たりに…
- ② p. 36 の式(2.1a,b) (2.4節):  $a \rightarrow l$  に修正

$$V_A = P \frac{l-a}{a}$$
,  $R_B = P \frac{a}{l}$  (2.1a,b)  $V_A = P \frac{l-a}{\underline{l}}$ 

© p. 62 の 12~14 行の 3 箇所 (3.4 節):  $K' \to K_R$  に修正

全不静定次数 : 
$$I = \left(I_{\text{ext.}} + \sum\limits_{l=1}^{L} i_{\text{int.}} = K - 3L + \sum\limits_{l=1}^{L} (m - 2j + 3)\right) = K_{\text{R}} + M - 2J$$
 (3.2d) ただし  $K_{\text{R}} = ($ トラス間の拘束度を除いた)基盤からの支持拘束度  $M = 全部材数$  ,  $J = 全節点数$ 

に表される。この式(3.2d)は、トラスであることの条件を外して、ヒンジ結合の軸力部材から成る一般構造に対して成立している(自由度Sの"不安定機構"がふくまれるときには、I-S=K'+M-2J): 全体構造を直接考えれば、つり合いに関する未知量は各部材力 および 支持拘束度K'に対する支持反力であって、各節点での2方向力のつり合い条件式に対してK'+M>2Jであるときの不定未知量の数を表わす。

$$K_{\mathbb{R}}$$

◎ p.86の17行と下4行(4.4節)

17行: … 例えば**図 4-5** での  $\sigma_x$ によって生じる  $\epsilon_x$  と $\sigma_y$ による $\epsilon_y$  が同じであるなど

下 4 行:…微小要素 dx×dy×dy に、



 $dx \times dy \times dz$ 

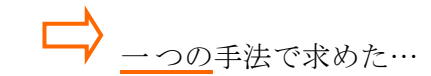
◎ p. 111 の下 9 行(5.5 節)

この P の直接効果が作用点 x=a の<u>左側に</u>伝達されることは、半区間関数の定義(式(5.20))に一致しており、

左側 古側

◎ p.115 の 3 行 (5.6 節)

このとき、1手法で求めた結果を、



◎ p.117の下7行の式 (5.6節): 2乗を3乗に

$$\theta_0 \left( = -\frac{\delta_{\mathrm{B}}}{b} \right) = -\frac{Pa^2}{6EIb}, \quad \delta_{\mathrm{D}0} \left( = \frac{\delta_{\mathrm{B}}}{2} \right) = \frac{Pa^2}{12EI} \qquad \qquad \theta_0 \left( = -\frac{\delta_{\mathrm{B}}}{b} \right) = -\frac{Pa^3}{6EIb}, \quad \delta_{\mathrm{D}0} \left( = \frac{\delta_{\mathrm{B}}}{2} \right) = \frac{Pa^3}{12EI}$$

◎ p.118 の 4-5 行 (5.7 節)

···"**たわみの連続条件**"のもとに解く問題<u>である</u> (<u>5.5 節</u> 積分法).



◎ p.158 の式(8.1) (8.1 節)

**弾性系の仮想仕事の原理:** <u>弾性体</u>がつり合い状態にあれば、可能なすべての仮想変位/変形に対して

内力仮想仕事 = 外力仮想仕事



◎ p.159の下7行(8.1節)

右辺の第1項と第2項は、 $0 \rightarrow \theta$ の変位/変形にけるバネのひずみエネルギーと外力Pの位置エネルギーであり、



◎ p.169の下から2つ目の式(8.3節)

$$\delta_{\mathbf{C}} = Pa^{2l} \times l \times \frac{1}{3} + Pa^{2l} \times a \times \frac{1}{3} = \frac{Pa^{2}}{3EI}(l+a) \qquad \delta_{\mathbf{C}} = Pa^{2l} \times l \times \frac{1}{3} + Pa^{2l} \times a \times \frac{1}{3} = \frac{Pa^{2}}{3EI}(l+a)$$

◎ p.170 の図 8.9 (8.3節): 右図に変更

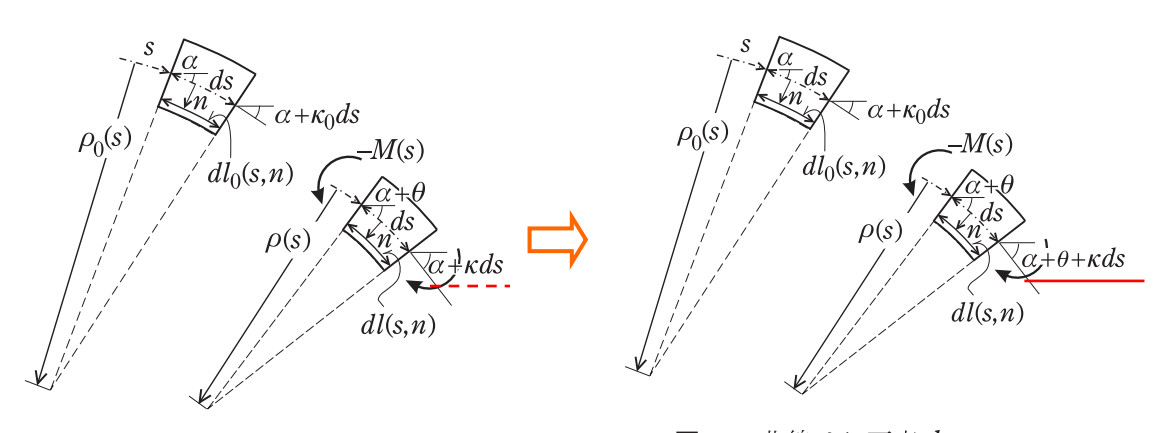
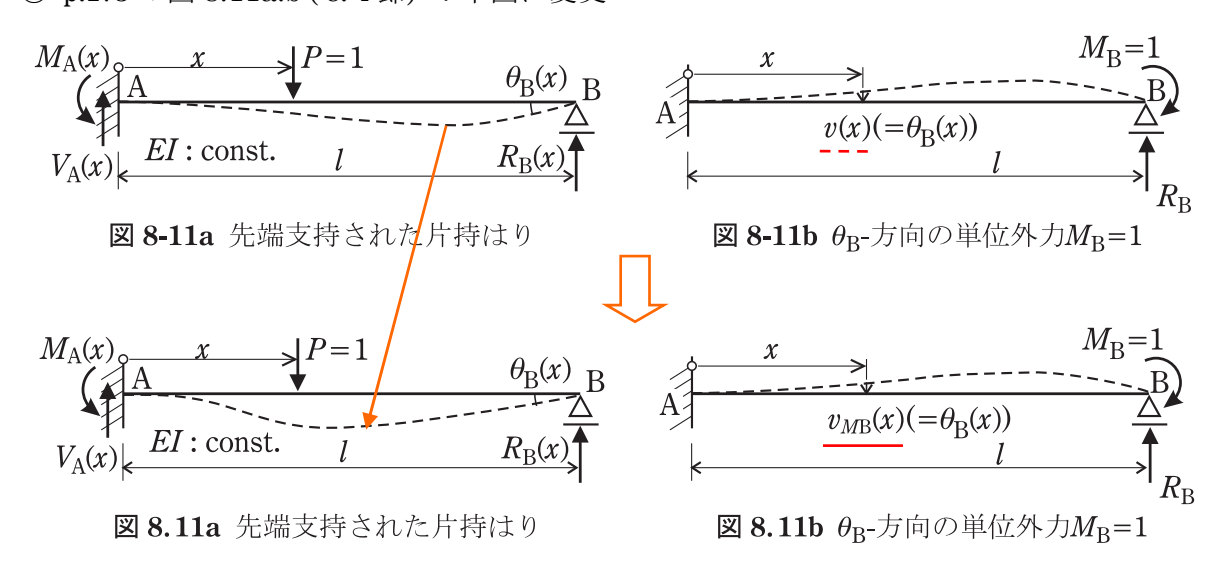


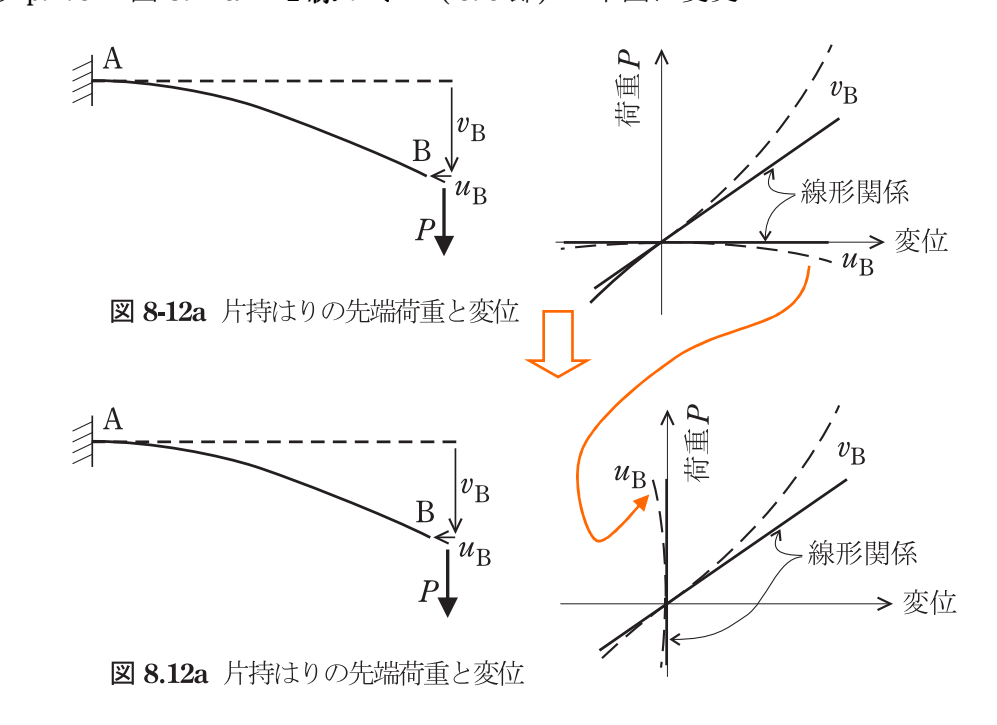
図 8-9 曲線はり要素 ds

図 8.9 曲線はり要素 ds

#### ◎ p.173 の図 8.11a.b (8.4節):下図に変更



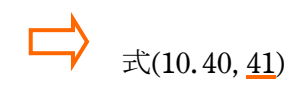
#### ◎ p.175 の図 8.12a の 1 線のミス (8.5 節):下図に変更



◎ p.195 の式(g)と(h) (8.9 節): 添え字を B → C に修正

$$\underline{\delta'_{\rm E}}_{\rm C} \left(=\Delta_{\rm II}\right) = \frac{5Pl^3}{16EI} , \quad W'_{\rm min} = -\frac{5P^2l^3}{32EI} \left(=-\frac{P\delta'_{\rm B}}{2}\right) \quad (g) \qquad \underline{\delta'_{\rm E}}_{\rm E} = \frac{Pl^3}{3EI} , \quad W_{\rm min} = -\frac{P^2l^3}{6EI} \quad (h)$$

- ② p.237 の 14 行 (10.2 節):  $\{S_x\}$ を マトリックス表示  $[S_x]$  に直す.
  - …任意の $\{\boldsymbol{u}_{J}^{*}\}$ に対する $\{\boldsymbol{F}_{J}\}^{\mathrm{T}}\{\boldsymbol{u}_{J}^{*}\}=\{\boldsymbol{F}_{(M)}\}^{\mathrm{T}}\{\underline{\boldsymbol{S}_{\mathrm{X}}}\}\{\boldsymbol{u}_{J}^{*}\}\dots$   $\{\boldsymbol{F}_{J}\}^{\mathrm{T}}\{\boldsymbol{u}_{J}^{*}\}=\{\boldsymbol{F}_{(M)}\}^{\mathrm{T}}[\underline{\boldsymbol{S}_{\mathrm{X}}}]\{\boldsymbol{u}_{J}^{*}\}$
- ◎ p.244の11行(10.3節B): 式番号,42→,41
- …場)。部材接続点など適切に節点を設けて、各部材中の変位を両端の節点変位によって式(10.40,42)で表わしている。



### ◎ p.253 の図 10.17 (10.5 節) : 下図に変更

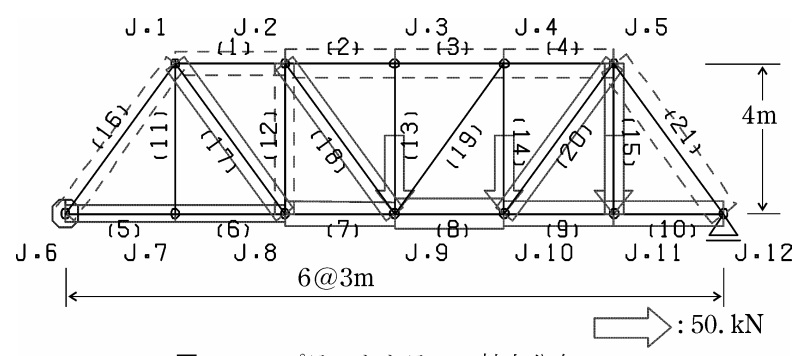


図 10-17 プラットトラスの軸力分布

# ◎ p.254 の図 10.18 (10.5 節): 下図に変更

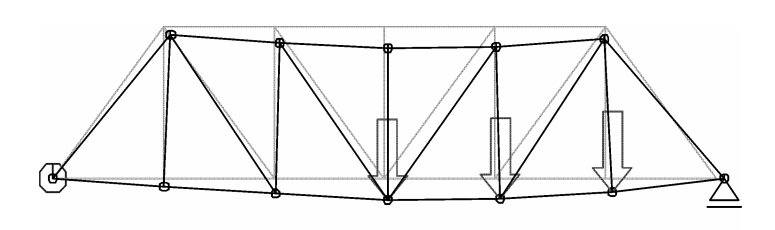
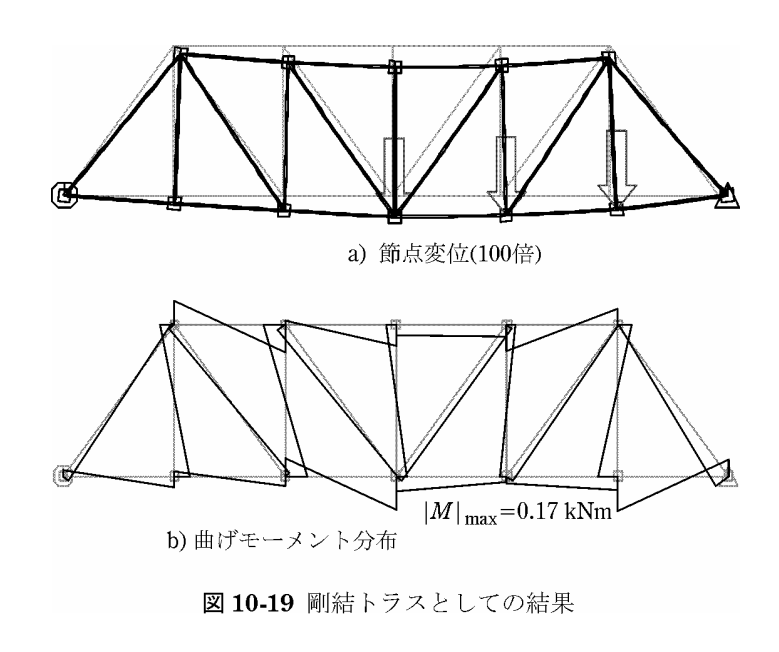
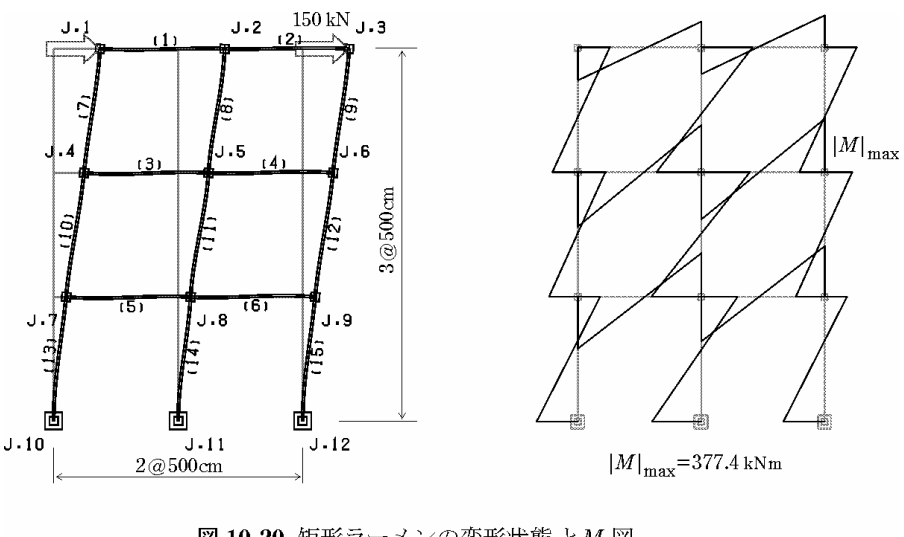


図 10-18 100倍に図化した節点変位

# ◎ p.254 の図 10.19 (10.5 節) : 下図に変更



### ◎ p.255 の図 10.20 (10.5 節) : 下図に変更



**図 10-20** 矩形ラーメンの変形状態 と*M*-図

### ◎ p.256 の図 10.22 (10.5 節) : 下図に変更

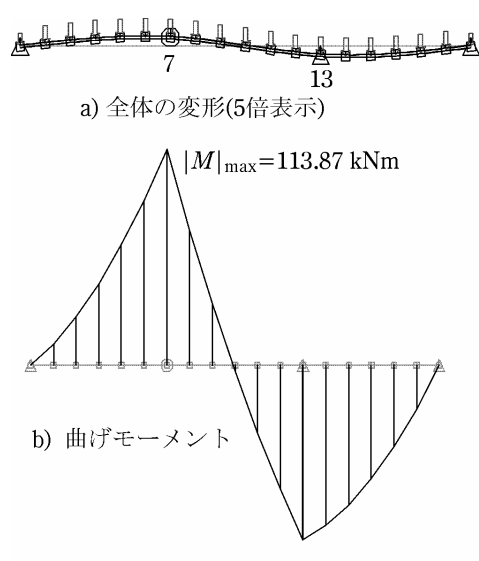


図 10-22 支点強制変位での連続はり

# ◎ p.256 の図 10.23 (10.5 節): 下図に変更

